

# Transpirationsmassenstromporometer zur Klimaregelung in Gewächshäusern

Dipl.-Ing. U. Schmidt, KDT/Dr. agr. C. Förtsch, KDT, Ingenieurhochschule Berlin-Wartenberg, Sektion Landtechnik

Voraussetzung für eine exakte Regelung des Klimas im Gewächshaus ist die präzise Meßdatenerfassung im On-line-Verfahren. Dabei ist weniger die Meßgenauigkeit der eingesetzten Sensoren, sondern die Ausschaltung von Störfaktoren und die richtige Positionierung der Sensoren von ausschlaggebender Bedeutung.

Eine weitere Bedingung für ein optimales Beherrschen des Klimas im Gewächshaus ist neben der meßtechnischen Erfassung der Regelgrößen auch ihre geeignete Auswahl aus der Vielfalt der sich gegenseitig beeinflussenden Klima- und Wachstumsfaktoren.

Der internationale Trend auf diesem Gebiet der Prozeßautomatisierung geht zur Einbeziehung pflanzlicher Zustandsgrößen in die Klimaregelung [1].

Bisher beschränkt sich die Regelung des Gewächshausklimas lediglich auf die Regelung der Innenlufttemperatur. Die Luftfeuchte ging dabei günstigenfalls nur als Regelrestriktion in eine Heizungsregelung ein. Eine große Bedeutung für das pflanzliche Wachstum hat die Gewebetemperatur der Pflanze selbst. Diese wird jedoch bisher weder in die Regelung meßtechnisch einbezogen noch selbst regelungstechnisch beeinflusst.

Mit Hilfe dieses Meßgeräts ist es möglich, durch entsprechende Meß- und Datenverarbeitungssoftware die momentane Transpirationsrate und den stomatären Leitwert einzelner Pflanzenblätter zu ermitteln. Das auf der Basis des Küvettenmeßverfahrens von Schmidt entwickelte Meßgerät wurde als Transpirationsmassenstromporometer bezeichnet und im Jahr 1988 zum Patent angemeldet (WP G 01 H/3147605). Es besteht aus mehreren Küvetten, dem eigentlichen Meßgerät und einem nicht im Gewächshaus befindlichen Kleinrechner. Die

Küvetten sind Halbschalen (Volumen 945 cm<sup>3</sup>) aus licht- und wärmestrahlungsdurchlässigem Material, zwischen denen intakte Blätter eingeklemmt werden. Die Meßküvetten sind mit einem Sammelgefäß (Dewargefäß) durch flexible Luftschläuche verbunden. Ein zweites Gefäß dient als Referenzmeßkammer. In den Sammelgefäßen befinden sich je ein Thermoelement zur Temperaturmessung und je ein speziell entwickeltes Miniaturpsychrometer zur Messung der psychrometrischen Feuchttemperatur. Letzere sind so gestaltet, daß sich ein von ei-

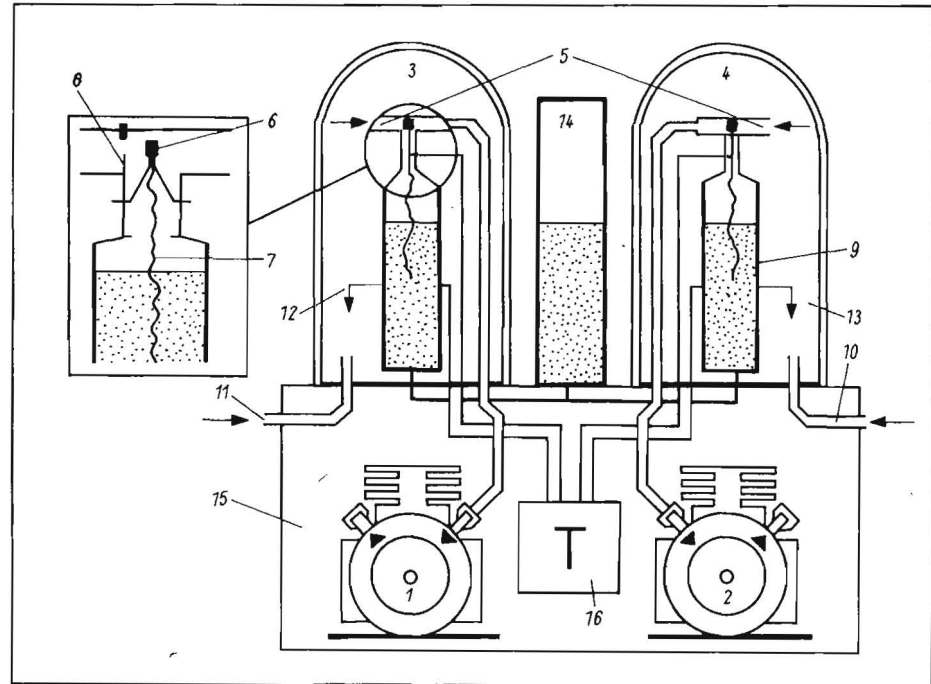
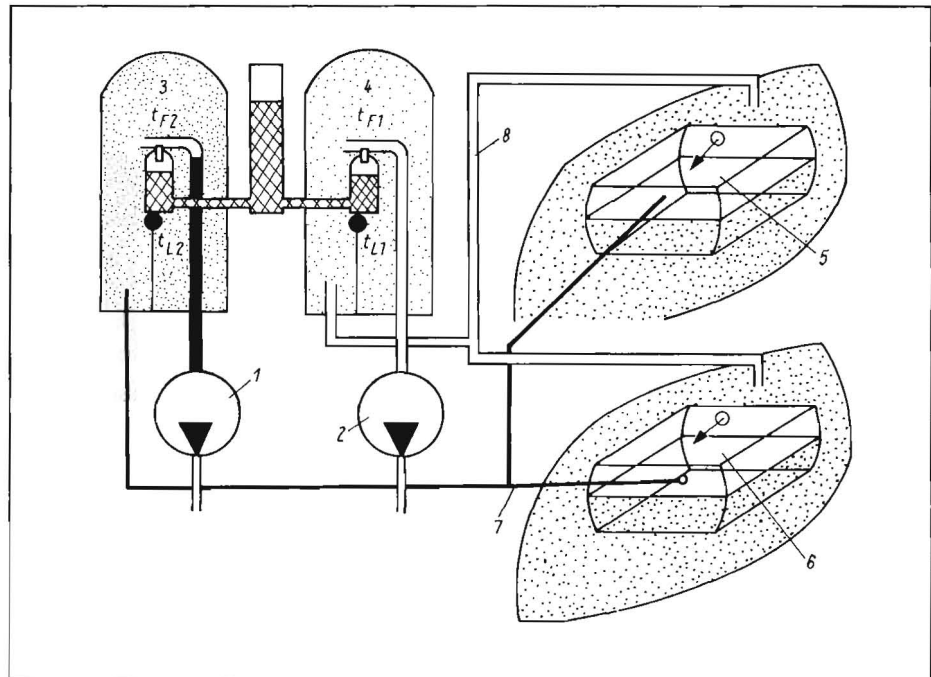


Bild 1. Konstruktive Gestaltung des Meßgehäuses;

- 1, 2 Membranpumpen, 3, 4 Sammelgefäße, 5 Ansaugstelle der Membranpumpen, 6 befeuchtetes Thermoelement, 7 Baumwollfaden, 8 Lochblende, 9 Wasserbehälter, 10 Verbindung zu den Meßküvetten, 11 Verbindung zur Ansaugstelle des Referenzluftstroms, 12, 13 Thermoelemente zur Lufttemperaturmessung, 14 Füllstandskontrolle, 15 Meßgehäuse, 16 Meßwandler

Bild 2. Meßprinzip des Transpirationsmassenstromporometers;

- 1, 2 Membranpumpen, 3, 4 Sammelgefäße, 5, 6 Meßküvette, 7 Ansaugschlauch für Meßküvette, 8 Ansaugschlauch für Referenzluftstrom



Eine weitere wichtige Zustandsgröße der Pflanze wäre die Öffnungsweite ihrer Spaltöffnungen. Diese ist von zahlreichen Klimafaktoren und pflanzlichen Prozessen abhängig und steht in engem Zusammenhang mit der Photosyntheserate. Die Kenntnis dieser Zustandsgröße ergäbe wichtige Hinweise über die Wirkung einzelner Klimatisierungsmaßnahmen. Besonders Interesse dürfte in Zukunft die Führung des CO<sub>2</sub>-Niveaus im Gewächshaus nach dieser pflanzlichen Zustandsgröße beanspruchen.

Ausgehend von diesen Erkenntnissen wurde im Wissenschaftsbereich Gartenbautechnik der Ingenieurhochschule Berlin-Wartenberg für das Verfahren der Klimaregelung im Gewächshaus nach der computersimulierten Pflanzenbestandstemperatur (CPT-Regelung) [2] ein Klimakomplexmeßgerät entwick-

nem dünnen Baumwollfaden umwicktes Thermoelement hinter einer Lochblende befindet. Die Enden des Baumwollfadens hängen in kleinen Wasserbehältern. Die Sammelgefäße, die Befeuchtungseinrichtung und die für die Erzeugung von Einheitsmeßsignalen notwendigen Meßwandler sind zusammen mit zwei Membranpumpen in einem Gehäuse integriert (Bild 1).

#### Arbeitsweise des Transpirationsmassenstromporometers

Mit Hilfe der beiden Membranpumpen wird in den Sammelbehältern ein Unterdruck erzeugt, durch den zwei Luftströme angetrieben werden. In den einen Sammelbehälter wird Luft gesaugt, die die Meßküvetten durchströmt hat, und in den zweiten Sammelbehälter gelangt Luft aus der unmittelbaren Umgebung der Küvettenansaugöffnungen (Bild 2).

In den Meßbehältern wird zunächst die Temperatur des Luftstroms erfaßt. An den Ansaugstellen im Meßbehälter wird dann durch Lochblenden der Luftstrom stark beschleunigt und zu hinter den Lochblenden befindlichen befeuchteten Thermoelementen geleitet, die auf die Feuchttemperatur abgekühlt werden.

Daraus ergeben sich somit 4 Temperaturmeßwerte, die über eine entsprechende Interfaceschaltung in einen außerhalb des Meßgeräts befindlichen Rechner geleitet werden.

Mit Hilfe eines iterativen Berechnungsverfahrens wird durch Gl. (1) der Wasserdampfpartialdruck der feuchten Luft berechnet, aus dem sich entsprechend den physikalischen Gesetzen der feuchten Luft die übrigen Zustandsgrößen des Wasserdampf-Luft-Gemisches ergeben:

$$p_D = p_D^*(t_f) + Le^{2/3} \frac{C_{PL}}{d(R_L/R_D)} (t_f - t_L)(p_m - p_D); \quad (1)$$

- $p_D$  Wasserdampfpartialdruck der feuchten Luft in kPa
- $p_D^*(t_f)$  Sättigungsdampfdruck bei Feuchttemperatur in kPa
- $Le$  Lewis-Zahl
- spezifische Wärmekapazität der feuchten Luft in  $\text{kJ}/(\text{kg} \cdot \text{K})$
- $d$  Verdunstungsenthalpie des Wassers in  $\text{kJ}/\text{kg}$
- $R_L$  spezifische Gaskonstante von trockener Luft in  $\text{kJ}/\text{kg}$
- $R_D$  spezifische Gaskonstante von Wasserdampf in  $\text{kJ}/\text{kg}$
- $t$  psychrometrische Feuchttemperatur in  $^\circ\text{C}$
- $t_L$  Lufttemperatur in  $^\circ\text{C}$
- $p_m$  atmosphärischer Luftdruck in kPa.

Die Größe der Feuchtedifferenz zwischen den beiden Luftströmen, die meßtechnisch durch die Feuchtedifferenzmessung zwischen den beiden Meßbehältern realisiert wird, ist das Maß für die momentan transpirierte Wasserdampfmenge der in den Meßküvetten eingeschlossenen Blätter. Da die Luftströme mehrerer Meßküvetten in einem Sammelgefäß vermischt werden, entsteht mit der meßbaren Feuchtedifferenz ein „natürlicher“ Mittelwert der Wasserdampfabgabe an den einzelnen Meßstellen. Die aus der Feuchtedifferenz resultierende Transpirationsmenge wird durch Gl. (2) berechnet:

Bild 3 Meßfehler des Transpirationsmassenstromporometers  $e_L$  in Abhängigkeit vom Meßfehler der Temperaturmessung  $e_{t_{\text{mess}}}$  und der Lufttemperatur  $t_L$  ( $q_L$  latenter Wärmestrom)

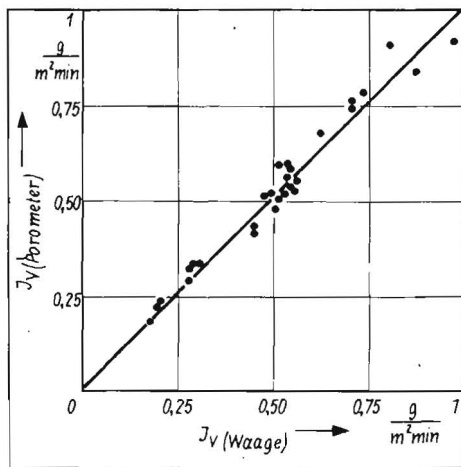
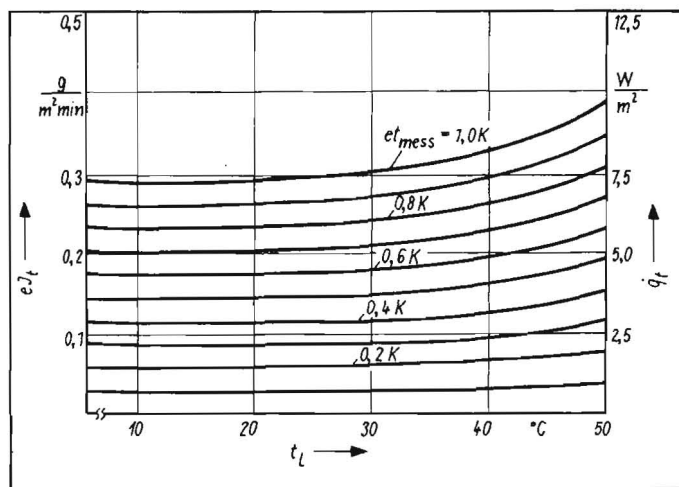


Bild 4. Vergleich zwischen der mit dem Massenstromporometer ermittelten Transpirationsmassenstromdichte  $J_V(\text{Porometer})$  und der durch Wägung festgestellten Transpirationsmassenstromdichte  $J_V(\text{Waage})$  ( $n = 36$ ,  $B = 0,97$ ,  $r = 0,98$ )

$$I_t = \frac{V_L}{F_b} (\rho_{L1} x_{L1} - \rho_{L2} x_{L2}); \quad (2)$$

- $I_t$  Transpirationsmassenstromdichte der Blätter in den Küvetten in  $\text{kg}/(\text{m}^2 \cdot \text{s})$
- $V_L$  durch die Küvetten geführter Volumenstrom in  $\text{m}^3/\text{s}$
- $F_b$  in den Küvetten befindliche Blattfläche in  $\text{m}^2$
- $\rho_{L1}$  Dichte des Luftstroms im Küvettenansauggefäß in  $\text{kg}/\text{m}^3$
- $x_{L1}$  absolute Luftfeuchte im Küvettenansauggefäß in  $\text{kg}/\text{kg}$
- $\rho_{L2}$  Dichte des Luftstroms im Referenzstromsammelgefäß in  $\text{kg}/\text{m}^3$
- $x_{L2}$  absolute Luftfeuchte im Referenzstromsammelgefäß in  $\text{kg}/\text{kg}$ .

Um den Meßvorgang exakt zu gewährleisten und die psychrometrischen Bedingungen einhalten zu können, wurden die folgenden Forderungen konstruktiv umgesetzt. Innerhalb der Meßküvetten wurden die Luft Eintritts- und Luftaustrittsstutzen in einer solchen Entfernung von der Blattfläche angeordnet, daß die blattnahe Temperatur- und Konzentrationsgrenzschicht nicht angeströmt wird. Der Luftstrom durch die Meßküvetten wurde dabei den Strömungsverhältnissen im Pflanzenbestand angepaßt. Er liegt geringfügig unterhalb der in diesem Bereich meßbaren Luftgeschwindigkeit von 0,2 m/s.

Bei Verwendung eines licht- und wärme-strahlungsdurchlässigen Materials (Polyäthylen) für die Küvetten werden damit im Küvetteninneren ähnliche Bedingungen wie in der freien Umgebung erzeugt.

Zur Einhaltung der psychrometrischen Bedingungen ist es erforderlich, die Feuchttemperatur unter Ausschaltung des Einflusses der Wärmestrahlung zu messen. Zur isenthalpen Abkühlung des Feuchtsensors bis zur Sättigungsdampflinie sind die strömungsdynamischen Bedingungen am Sensor einzuhalten. Die erste Bedingung wird durch die Verwendung der außen- und innenverspiegelten und doppelwandig-evakuierten Meßbehälter (Dewargefäße) erreicht. Der Wärmestrahlungsaustausch zwischen Sensor und Umgebung wird somit minimiert, und der eventuelle Einfluß der Geräteerwärmung auf den Meßvorgang ist durch die temperaturisolierende Wirkung der Gefäße ausgeschlossen.

Die zweite Bedingung wird durch die Beschleunigung des Luftstroms vor dem Auftreffen auf den Sensor mit Hilfe der Lochblenden erreicht. Nach Untersuchungen von Monteith [4] und Sonntag [5] ist die Anströmgeschwindigkeit der Sensoren mit 2 m/s hinreichend groß, kann aber bei Verwendung von Thermolementen wesentlich geringer sein. Zur Absicherung eines hohen psychrometrischen Wirkungsgrads wird die Luft trotz Verwendung von Thermolementen auf eine Geschwindigkeit von 2 m/s beschleunigt.

Der mit dem vorliegenden Verfahren zu erwartende Meßfehler wurde analytisch mit Hilfe des Gesetzes der Fehlerfortpflanzung aus dem Meßfehler der Temperaturmessung ermittelt und experimentell durch Vergleichsmessung mit verdunstenden Blattmodellen bestimmt, deren Wasserdampfabgabe durch Präzisionsmassedifferenzmessung ermittelt wurde.

Der bei einer Meßgenauigkeit der Thermolemente von 0,2 K ermittelte durchschnittliche Meßfehler bei der Ermittlung der Transpirationsmassenstromdichte betrug  $1,3 \cdot 10^{-6} \text{ kg}/(\text{m}^2 \cdot \text{s})$ . Daraus ergibt sich ein prozentualer Fehler von 4% vom Meßbereichsendwert von  $33,3 \cdot 10^{-6} \text{ kg}/(\text{m}^2 \cdot \text{s})$  (Bild 3).

Die in den experimentellen Untersuchungen ermittelte mittlere Abweichung zwischen den Meßergebnissen des Transpirationsmassenstromporometers und der Präzisionswägung von  $0,1 \cdot 10^{-6} \text{ kg}/(\text{m}^2 \cdot \text{s})$  bestätigt die erreichbare Genauigkeit (Bild 4).

Das Transpirationsmassenstromporometer fungiert als Basisgerät für die Anwendung eines neuartigen, ebenfalls an der Ingenieurhochschule Berlin-Wartenberg entwickelten Regelverfahrens.

Die von diesem Meßgerät in Verbindung mit einem Kleincomputer ermittelten Werte der Transpirationsmassenstromdichte von Pflanzenblättern können in Verbindung mit der von einem Gesamtstrahlungs-pyranometer ermittelten Nettostrahlungswärmestromdichte sowie mit der ebenfalls mit dem Porometer erfaßten Lufttemperatur und Luftfeuchte (Meßdaten des Referenzluftstroms) dazu verwendet werden, um auf der Grundlage der Wärmebilanzgleichung einzelner Pflanzenblätter die Temperatur des Pflanzenbestands zu simulieren.

Unter Zuhilfenahme eines elektrischen Analogiemodells ist es weiterhin möglich, den stomatären Leitwert der Pflanzenblätter zu bestimmen, der eine Maßzahl für die aktuelle Öffnungsweite der Spaltöffnungen der in

der Meßküvette eingeschlossenen Pflanzenblätter ist.

Als Ausgangswerte werden somit durch den Kleinrechner die folgenden Daten ausgegeben:

- mittlere Transpirationsmassenströmdichte des Pflanzenbestands
  - stomatärer Leitwert der Blätter des Bestands
  - Temperatur der Luft im Bestandsbereich
  - Luftfeuchte der Luft im Bestandsbereich.
- Bei der weiteren Erprobung des Transpirationsmassenstromporometers sollten auch Anwendungsmöglichkeiten geprüft werden, die nicht unmittelbar im Bereich des Gartenbaus liegen. So ist die Ermittlung der Wasserdampf-abgabe bestimmter Körper auch in anderen Wirtschaftszweigen, wie z. B. in der Bauindustrie (Trocknung von Betonelementen, Feuchtegehalt von Mauerwerk) oder in der Lagerwirtschaft (Wasserdampf-abgabe von Haufwerken bei der Getreide- und Kartoffellagerung), von Interesse.

## Literatur

- [1] Hashimoto, J.: Computer control of short term plant growth by monitoring leaf temperature (Rechnergestützte Überwachung des Kurzzeitwachstums durch Aufzeichnung der Blattemperatur). Acta Horticulturae, The Hague 106(1980) S. 139–143.
- [2] Schmidt, U.: Die Temperatur des Pflanzenbestands als Regelgröße für die Klimaregelung im Gewächshaus unter besonderer Berücksichtigung der Heizungsregelung. Ingenieurhochschule Berlin-Wartenberg, Forschungsbericht 1989 (unveröffentlicht).
- [3] Förtsch, C., u. a.: Grundlagen zur Solarenergienutzung in Gewächshäusern. Ingenieurhochschule Berlin-Wartenberg, Forschungsbericht 1989 (unveröffentlicht).
- [4] Monteith, J. L.: Error and accuracy in thermocouple psychrometry (Fehler und Genauigkeit des Thermolementpsychrometers). Proc. physic. Soc. B. 67 (1954).
- [5] Sonntag, D.: Hydrometrie – Ein Handbuch der Feuchtigkeitsmessung in der Luft und anderen Gasen. Berlin: Akademie-Verlag 1966–1968.

A 5747

# Einflußgrößen und Betriebscharakteristik eines Wärmehückgewinnungssystems mit Rippenrohren in einem Gewächshaus

Dr. -Ing. K. Bathke, Forschungszentrum für Mechanisierung und Energieanwendung in der Landwirtschaft Schlieben der AdL der DDR

## Verwendete Formelzeichen

$A_0$	$m^2$	Gewächshausoberfläche
$A_G$	$m^2$	Gewächshausgrundfläche
$A_K$	$m^2$	Oberfläche des Rippenrohrregisters
$c_w$	$Wh/(kg \cdot K)$	spezifische Wärmekapazität von Wasser
$E_a$	$W/m^2$	Globalstrahlungsstärke im Freiland
$f_A$		Formfaktor des Gewächshauses ( $f_A = A_0/A_G$ )
$k'$	$W/(m^2 \cdot K)$	Wärmeverbrauchskoeffizient des Gewächshauses
$k_K$	$W/(m^2 \cdot K)$	Wärmedurchgangskoeffizient des Rippenrohrregisters
$\dot{m}_w$	$kg/h$	Massendurchsatz (Wasser)
$\dot{Q}_K$	$W$	Kühlleistung des Rippenrohrregisters
$\dot{Q}_{Str}$	$W$	im Gewächshaus wirksame fühlbare Wärmeleistung der Globalstrahlung
$\dot{Q}_{Tr}$	$W$	gesamte Wärmeverlustleistung des Gewächshauses
$t_a$	$^\circ C$	Außentemperatur
$t_i$	$^\circ C$	Gewächshausinnentemperatur
$t_v$	$^\circ C$	Vorlauftemperatur (Rippenrohrregister)
$t_R$	$^\circ C$	Rücklauftemperatur (Rippenrohrregister)
$\dot{V}_w$	$m^3/h$	Volumendurchsatz (Wasser)
$\Delta t_{Str}$	$K$	äquivalente Temperaturerhöhung im Gewächshaus infolge Globalstrahlung
$\eta_{Str}$		als fühlbare Wärme wirksamer Anteil der Globalstrahlung (Wirkungsgrad)

## 1. Problemstellung

In Gewächshäusern entsteht in den Übergangs- und Sommermonaten infolge des bekannten Treibhauseffekts überschüssige Wärme, die zur Einhaltung maximal zulässiger Innentemperaturen über Belüftungseinrichtungen an die Umgebung abgeführt werden muß. Über die Größe dieser Überschusswärme und eine technische Lösung für de-

ren Rückgewinnung und Nutzung mit Hilfe wassergekühlter Rippenrohre im Dachraum eines thermoverglasten Experimentalgewächshauses wurde in [1] berichtet. Nachfolgend soll die Abhängigkeit der am Tage erreichbaren mittleren Kühlleistung der Rippenrohre und der sich im Gewächshaus einstellenden Temperatur von den physikalisch-technischen und klimatischen Einflußgrößen vereinfachend dargestellt werden [2].

Die mittlere Kühlleistung entspricht der aus dem Gewächshaus nutzbaren Überschusswärme. Auf der Grundlage dieser Beziehungen werden die experimentellen Ergebnisse des untersuchten Systems verdichtet und in praktikabler Form auf beliebige Umgebungsbedingungen übertragen. Das Ziel der Betrachtung besteht darin, einerseits die konkreten Ergebnisse zu verallgemeinern und andererseits methodische Grundlagen für die Dimensionierung und energetische Bilanzierung derartiger Wärmerückgewinnungssysteme in Gewächshäusern zu schaffen.

## 2. Parameter der Experimentalanlage

Der Aufbau der Experimentalanlage in der LPG „Wilhelm Wolff“ Dresden wurde in [1] beschrieben. Die wichtigsten Parameter der Anlage sind:

- Gewächshaus: thermoverglastes Gewächshaus mit einer Grundfläche  $A_G = 1000 m^2$  und einer Oberfläche  $A_0 = 1550 m^2$
- Wärmerückgewinnungssystem: 5 Rippenrohre mit einer Kühlfläche  $A_K = 1100 m^2$  und einem Kühlwasserdurchsatz  $\dot{V}_w = 23 m^3/h$ ; das erwärmte Wasser wird einem Speicher zugeführt und kann für die Nachheizung des Gewächshauses oder z. B. als Gießwasser genutzt werden.

## 3. Wärmeenergetische Beziehungen

Von dem im Gewächshaus wirksamen Anteil

$\dot{Q}_{Str}$  der Globalstrahlungsleistung wird ein Teil ( $\dot{Q}_{Tr}$ ) als Transmissions-, Lüftungs- und Bodenwärme und der andere Teil als Kühlleistung ( $\dot{Q}_K$ ) des Rippenrohrregisters aus dem Gewächshaus abgeführt:

$$\dot{Q}_{Str} = \dot{Q}_{Tr} + \dot{Q}_K \quad (1)$$

$$\dot{Q}_K = c_w \dot{m}_w (t_R - t_v) = k_K A_K \left( t_i - \frac{t_v + t_R}{2} \right) \quad (2)$$

$$\dot{Q}_{Tr} = k' A_0 (t_i - t_a) \quad (3)$$

Aus den Gln. (1) bis (3) ergibt sich die explizite Abhängigkeit der Gewächshausinnentemperatur  $t_i$  und der Kühlleistung  $\dot{Q}_K$  von den wesentlichen Einflußgrößen –

$$t_i = t_a + \Delta t_{Str} + \frac{t_v - t_a - \Delta t_{Str}}{1 + \frac{k' A_0}{k_K A_K} + 0,5 \frac{k' A_0}{c_w \dot{m}_w}} \quad (4)$$

$$\dot{Q}_K = \frac{2 c_w \dot{m}_w}{1 + 2 c_w \dot{m}_w / k_K A_K} (t_i - t_v) \quad (5)$$

mit der äquivalenten Temperaturerhöhung  $\Delta t_{Str}$  im Gewächshaus infolge der Globalstrahlung:

$$\Delta t_{Str} = \frac{\dot{Q}_{Str}}{k' A_0} = \frac{\eta_{Str} E_a}{k' f_A} \quad (6)$$

Diese Beziehungen, die prinzipiell denen bei Beheizung des Gewächshauses [3] gleichen, sollen der zu erarbeitenden Betriebscharakteristik des Wärmerückgewinnungssystems zugrunde gelegt werden.

Der Begriff und die exakte Ermittlung der Gewächshausinnentemperatur  $t_i$  ist unter dem Einfluß der Globalstrahlung problematisch. Unter Praxisbedingungen und bei Verwendung üblicher Raumthermometer entspricht sie annähernd der Blattemperatur [4].

Die charakteristischen Größen  $\eta_{Str}$ ,  $k'$  und  $k_K$  sind keine eigentlichen Konstanten, sondern von den sich zeitlich ändernden inneren und